

## Библиографический список

1. Архангельский Ю.С. Сверхвысокочастотные нагревательные установки для интенсификации технологических процессов / Ю.С. Архангельский, И.И. Девяткин. Саратов: Изд-во Сарат. ун-та, 1983. 140 с.
2. Использование СВЧ энергии для полимеризации стержневых материалов / Д.А. Лоик, А.В. Мамонтов, В.Н. Нефедов, А.С. Черкасов // Концентрированные потоки энергии в космической технике, электронике, экологии и медицине: тр. IX межвуз. науч. школы молодых специалистов. М.: МГУ, 2008 . С. 63-66.

УДК 621.385.6.6

**Д.В. Холопов, Т.А. Потапова, В.Н. Нефёдов**

Московский государственный институт электроники и математики

(Технический университет), e-mail: lmis@miem.edu.ru

### **МОДЕЛИРОВАНИЕ СВЧ-ТЕРМООБРАБОТКИ ДИЭЛЕКТРИЧЕСКИХ МАТЕРИАЛОВ С ИСПОЛЬЗОВАНИЕМ РАЗЛИЧНЫХ ТИПОВ ИЗЛУЧАТЕЛЕЙ**

D.V. Kholopov, T.A. Potapova, V.N. Nefedov

Moscow State Institute of Electronics and Mathematics (Technical University)

### **DIELECTRIC MATERIALS' MICROWAVE THERMAL TREATMENT MODELLING USING DIFFERENT TYPES OF RADIATORS**

The comparative analysis of computer modeling and experimental investigations results for temperature distribution in dielectric materials using different types of radiators are presented.

Анализ научных публикаций в области исследования современных сверхвысокочастотных технологий термообработки диэлектрических материалов показывает [1-6], что наибольшее внимание уделяется поиску принципиально новых технических решений, позволяющих формировать заданное распределение температуры по объему обрабатываемого материала.

Практический опыт применения различных конструкций СВЧ-устройств с целью реализации равномерного нагрева объемных диэлектрических материалов позволяет утверждать, что наиболее перспективными в этом направлении являются СВЧ-устройства лучевого типа [4].

Наиболее распространённой электродинамической системой, используемой для термообработки объемных диэлектрических материалов, является прямоугольная камера, на стенках которой в определенном порядке расположены излучатели СВЧ-энергии.

В настоящей работе с помощью программ Ansoft HFSS и CST Microwave Studio исследовано распределение температуры по толщине диэлектрического материала с различной влажностью. Термообработка материала проводилась в СВЧ-устройствах лучевого типа с использованием двух типов излучателей: в виде раскрыва прямоугольного волновода и в виде щели в широкой стенке волновода. Кроме того, в работе приведено сравнение полученных результатов с результатами экспериментальных исследований [7].

В работе исследуемым материалом являлась древесина размером 100x300x100 мм и влажностью 7% ( $\epsilon'=2,9$ ;  $\epsilon'=0,4$ ), 12% ( $\epsilon'=3,6$ ;  $\epsilon''=0,52$ ) и 16% ( $\epsilon'=4,9$ ;  $\epsilon''=0,75$ ), теплоёмкостью 1,7 кДж/(кг·К)) и плотностью 470 кг/м<sup>3</sup>. Исследуемый материал располагался в центре камеры, имеющей размеры 600x600x600 мм, на расстоянии 150 мм от боковых стенок. Отражение падающего излучения от стенок камеры отсутствовало. Мощность источника СВЧ-энергии 600 Вт, частота 2,45 ГГц.

Геометрические модели камеры с излучателями в виде раскрызов двух прямоугольных волноводов размером 72x34 мм, построенные в программах Ansoft HFSS и CST Microwave Studio, изображены на рис. 1.

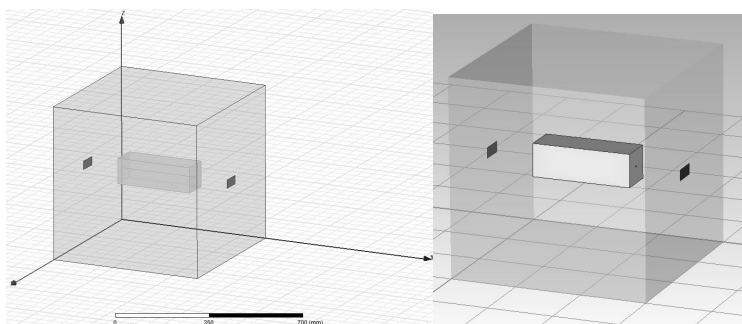


Рис. 1. Геометрическая модель камеры с излучателями в виде раскрызов двух прямоугольных волноводов 72x34 мм, построенная в программах Ansoft HFSS (слева) и CST Microwave Studio (справа)

Полученное распределение температуры было нормировано к максимальному значению температуры. На рис. 2 видно, что характер распределений температуры, полученных в результате моделирования в программах CST Microwave Studio и Ansoft HFSS, совпадает. В программе CST Microwave Studio величина разброса значений минимумов и максимумов достигает 4-5 раз, в программе Ansoft HFSS этот разброс не более двух раз. Среднее значение отношения  $T/T_0$  для программы Ansoft HFSS

составило 0,7, для программы CST Microwave Studio – 0,3. Положения максимумов температуры в обеих программах практически совпадают. Разброс значений, полученных при моделировании, по сравнению с результатами экспериментального исследования для программы Ansoft HFSS не превысил 20%, для программы CST Microwave Studio – в отдельных точках доходит до 60%.

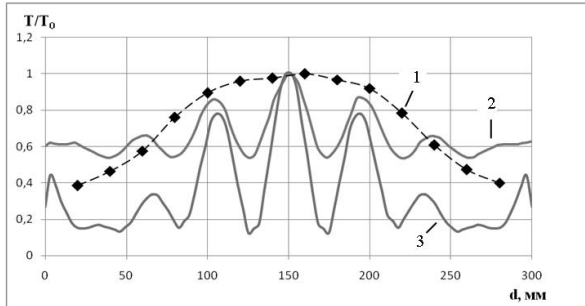


Рис. 2. Характеристики распределения температуры по толщине материала при значении относительной влажности 7% (1 – эксперимент; 2 – Ansoft HFSS; 3 – CST Microwave Studio)

При 12% влажности материала (рис. 3) полученная картина распределения температуры по толщине материала схожа в обеих программах. Среднее значение отношения  $T/T_0$  для программы Ansoft HFSS составило 0,6, для программы CST Microwave Studio – 0,4. Положения максимумов температуры практически совпадают. Разброс значений температуры для программы Ansoft HFSS не превысил 25%, для программы CST Microwave Studio в отдельных точках доходит до 40%.

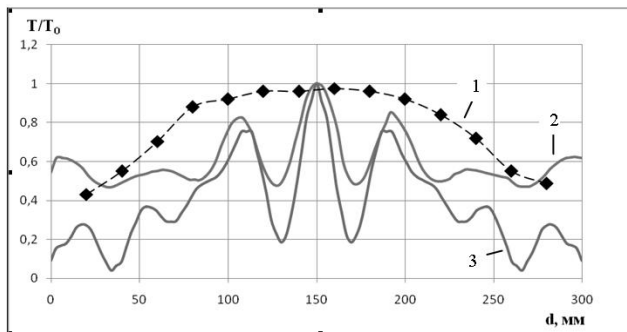


Рис. 3. Характеристики распределения температуры по толщине материала при значении относительной влажности 12% (1 – эксперимент; 2 – Ansoft HFSS; 3 – CST Microwave Studio)

Таким образом, результаты моделирования материала с влажностью 7 и 12 %, полученные в программе Ansoft HFSS, ближе к результатам экспериментального исследования.

При влажности образца 16% (рис. 4) картины распределения температуры по объёму материала в программах Ansoft HFSS и CST Microwave Studio имеют некоторое сходство, но положения локальных максимумов друг с другом не совпадают.

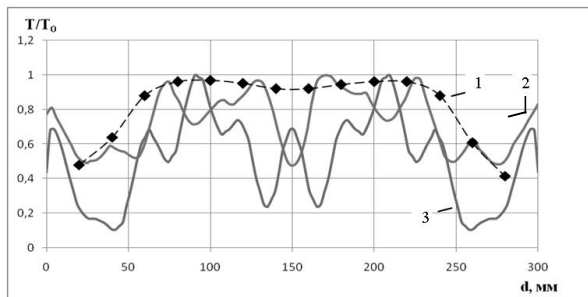


Рис. 4. Характеристики распределения температуры по толщине материала при значении относительной влажности 16%  
(1 – эксперимент; 2 - Ansoft HFSS; 3 – CST Microwave Studio)

Среднее значение отношения  $T/T_0$  для программы Ansoft HFSS составило 0,75, для программы CST Microwave Studio – 0,5. При сравнении результатов моделирования с реальным экспериментом картина распределения температуры симметрична относительно центра материала и имеет две области максимумов. Характер распределения температуры в центре материала несколько отличается. Разброс значений, полученных в ходе моделирования, по сравнению с результатами эксперимента для программы Ansoft HFSS не превысил 15%, для программы CST Microwave Studio в отдельных точках составил около 40%. Таким образом, и в данном случае результат, полученный в программе Ansoft HFSS, ближе к экспериментальным данным.

На рис. 5 приведены геометрические модели СВЧ-устройства лучевого типа с излучателем в виде щели в широкой стенке волновода.

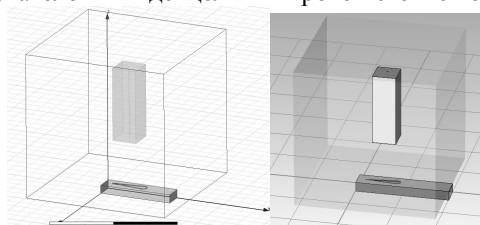


Рис. 5. Геометрическая модель, построенная в программах Ansoft HFSS (слева) и CST Microwave Studio (справа)

Геометрические размеры щелевого излучателя приведены на рис. 6.

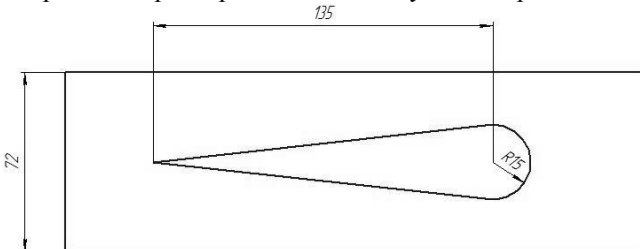


Рис. 6. Геометрические размеры щелевого излучателя

Результаты моделирования распределения температуры по толщине материалов от щелевого излучателя в середине широкой стенки волновода и результаты эксперимента приведены на рис. 7–9.

Из графиков видно, что результаты моделирования в программах не совпадают с полученными в ходе эксперимента зависимостями. В экспериментальном исследовании максимальная температура получена на поверхности материала при последнем измерении на глубине 80–100 мм. При моделировании распределение температуры повторяет характер экспериментального распределения температуры, но начиная с глубины 90–100 мм.

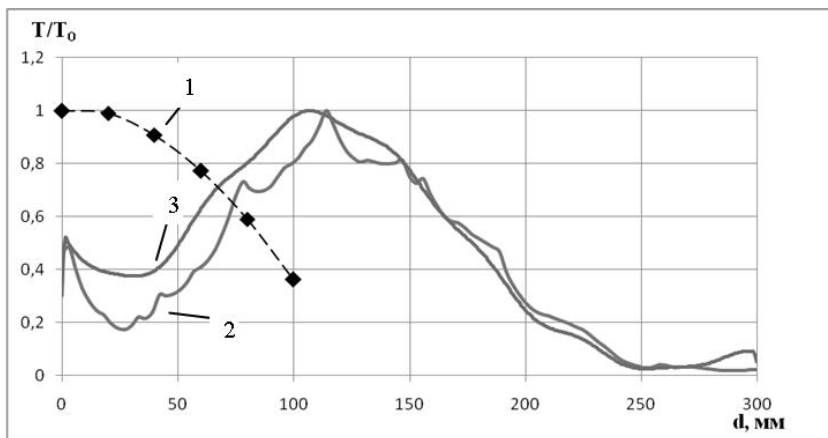


Рис. 7. Характеристики распределения температуры по толщине материала при значении относительной влажности 7% (1 – эксперимент; 2 – Ansoft HFSS; 3 – CST Microwave Studio)

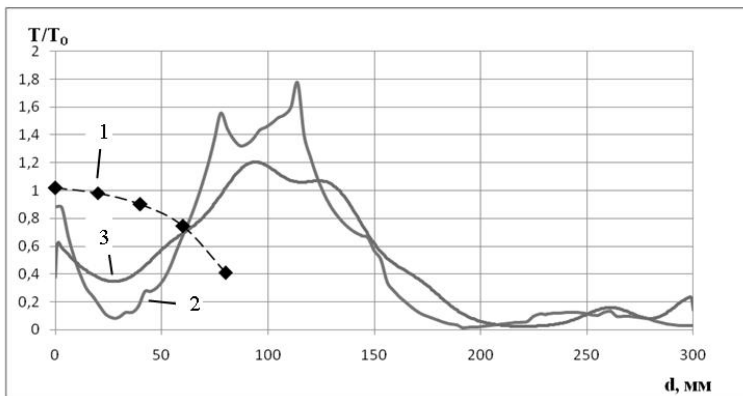


Рис. 8. Характеристики распределения температуры по толщине материала при значении относительной влажности 12% (1 – эксперимент; 2 – Ansoft HFSS; 3 – CST Microwave Studio)

Причины такого различия характеристик распределения температуры могут быть объяснены допущениями модели, использованными в ходе моделирования, а именно:

1. Стенки камеры были полностью открытыми, т.е. падающее излучение от стенок камеры абсолютно не отражалось.
2. Поверхность волновода со щелью в середине широкой стенки являлась идеально проводящей.
3. Не учитывалось изменение диэлектрических параметров с ростом температуры образца.
4. Теплопроводность обрабатываемого материала также не учитывалась.

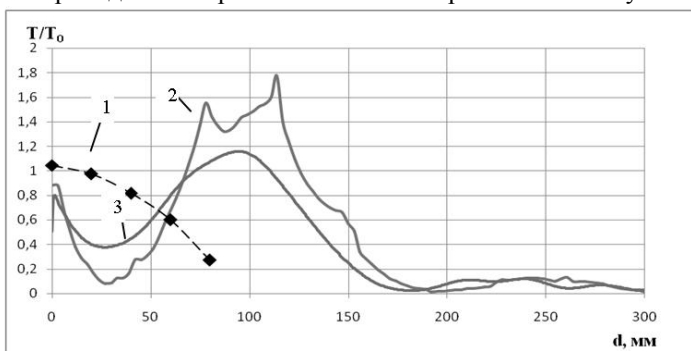


Рис. 9. Характеристики распределения температуры по толщине материала при значении относительной влажности 16% (1 – эксперимент; 2 – Ansoft HFSS; 3 – CST Microwave Studio)

Таким образом, в программах Ansoft HFSS и CST Microwave Studio проведено исследование распределения температуры по толщине диэлектрического материала с влажностью 7, 12 и 16%:

1. При использовании двух раскрызов волновода 72x34 мм в качестве излучателя результат расчётов в программе Ansoft HFSS оказался ближе к экспериментальной характеристике, разброс значений составил не более 25%.
2. При использовании щелевого излучателя в форме капли результаты программного моделирования не совпадают с экспериментальными зависимостями, что может быть объяснено допущениями геометрической модели электродинамической системы.

#### Библиографический список

1. Низкоинтенсивные СВЧ–технологии (проблемы и реализация) / под ред. Г.А. Морозова и Ю.Е. Седельникова. М.: Радиотехника, 2003. 112 с.
2. Архангельский Ю.С. СВЧ–электротермия / Ю.С. Архангельский. Саратов: СГТУ, 1998. 408 с.
3. Микроволновое технологическое оборудование и приборы / Г.Г. Гонтарев, Б.Н. Глазырин, Г.В. Лысов и др. // Обзоры по электронной технике. Серия 1. Электроника СВЧ. М.: ЦНИИ «Электроника», 1992. Вып. 10 (1681). 74 с.
4. Архангельский Ю.С. Сверхвысокочастотные нагревательные установки для интенсификации технологических процессов / Ю.С. Архангельский, И.И.Девяткин. Саратов: Изд-во Сарат. ун-та, 1983. 140 с.
5. Окресс Э. СВЧ-энергетика: в 3 т. / Э.Окресс. М.: Мир, 1971. Т. 2. 272 с.
6. Микроволновые технологии / А.В. Мамонтов, И.В. Назаров, В.Н. Нефедов, Т.А. Потапова. М.: ГНУ НИИ ПМТ, 2008. 308 с.
7. Нефедов М.В. Исследование и разработка СВЧ устройств лучевого типа для термообработки материалов: дис.... канд. техн. наук / М.В. Нефедов. М., 2005. 164 с.